

УДК 539.376

УСТАНОВИВШАЯСЯ ПОЛЗУЧЕСТЬ ИЗГИБАЕМЫХ АРМИРОВАННЫХ МЕТАЛЛОКОМПОЗИТНЫХ ПЛАСТИН С УЧЕТОМ ОСЛАБЛЕННОГО СОПРОТИВЛЕНИЯ ПОПЕРЕЧНОМУ СДВИГУ.

1. МОДЕЛЬ ДЕФОРМИРОВАНИЯ

А. П. Янковский

Институт теоретической и прикладной механики им. С. А. Христиановича СО РАН,
630090 Новосибирск
E-mail: lab4nemir@rambler.ru

С использованием второго варианта теории Тимошенко в прямоугольной декартовой системе координат сформулирована задача деформирования армированных металлокомпозитных пластин с учетом их ослабленного сопротивления поперечному сдвигу в условиях установившейся ползучести. Рассмотрена аналогичная модельная задача осесимметричного изгиба армированных пластин в полярной системе координат.

Ключевые слова: армированные металлокомпозиты, пластины, установившаяся ползучесть, теория Тимошенко.

Введение. В работе [1] предложены итерационные модели, описывающие механическое поведение перекрестно армированных металлокомпозитных сред в условиях установившейся изотропной ползучести всех фазовых материалов. В [2] на примере изгибаемых слоистых металлокомпозитных пластин с регулярной структурой показана необходимость учета ослабленного сопротивления поперечному сдвигу тонкостенных элементов конструкций, работающих в условиях установившейся ползучести всех фазовых материалов. Поскольку можно предположить, что в условиях установившейся ползучести поведение перекрестно армированных в плане металлокомпозитных пластин будет аналогичным, в настоящей работе с использованием структурных соотношений из [1] представлены результаты моделирования механического поведения армированных металлокомпозитных пластин с учетом их ослабленного сопротивления поперечному сдвигу при изгибе в условиях установившейся ползучести всех компонентов композиции.

1. Изгиб армированных металлокомпозитных пластин с учетом ослабленного сопротивления поперечному сдвигу в условиях установившейся ползучести. При изучении механического поведения линейно-упругоизгибаемых композитных тонкостенных элементов конструкций типа пластин и оболочек с волокнистой структурой учитывать их ослабленное сопротивление поперечному сдвигу целесообразно лишь в случае, когда модули упругости фазовых материалов различаются на несколько порядков (в 30 и более раз) [3–9]. В металлокомпозитных тонкостенных конструкциях модули

Работа выполнена при финансовой поддержке Российского фонда фундаментальных исследований (код проекта 14-01-00102-а).

упругости фазовых материалов различаются менее чем на порядок [10], поэтому при исследовании их поведения в условиях изгиба достаточно использовать классическую теорию Кирхгофа — Лява [4, 5, 7, 9], не учитывающую поперечные сдвиги.

Однако при изучении механического поведения изгибаемых металлокомпозитных пластин и оболочек, работающих в условиях установившейся ползучести всех фазовых материалов, может оказаться необходимым учет их ослабленного сопротивления поперечному сдвигу. (Насколько известно автору данной работы, до настоящего времени деформирование тонкостенных армированных конструкций в условиях установившейся ползучести изучалось лишь в рамках классической теории [11, 12].) Действительно, в работе [1] предложены итерационные модели деформирования перекрестно армированных металлокомпозитов, работающих в условиях установившейся ползучести, основанные на использовании метода последовательных приближений, аналогичного методу секущего модуля [13]. Покажем, что для некоторых металлокомпозиций при одних и тех же скоростях деформаций ползучести секущие модули (которым в упругом случае соответствуют модули упругости) фазовых материалов могут различаться более чем в 30 раз и даже на несколько порядков.

Рассмотрим металлокомпозиции, состоящие из медного (Cu) или алюминиевого (АМгЗ) связующего, армированного стальной проволокой У8А. При температуре $\Theta \approx 200$ °С характеристики степенного закона установившейся ползучести $\xi = b_i \sigma^{m_i}$ для этих материалов имеют следующие значения:

- для Cu [14] $m_0 = 2,16, \quad b_0 = 5,63 \cdot 10^{-9} \text{ МПа}^{-m_0}/\text{ч},$
- для АМгЗ [15] $m_0 = 6,05, \quad b_0 = 1,025 \cdot 10^{-14} \text{ МПа}^{-m_0}/\text{ч},$ (1)
- для У8А [10] $m_1 = 24,98, \quad b_1 = 1,054 \cdot 10^{-84} \text{ МПа}^{-m_0}/\text{ч}$

(ξ — скорость деформаций ползучести; σ — напряжение).

На рис. 1, а при значениях параметров ползучести (1) представлены обратные указанному выше степенному закону зависимости [13]

$$\sigma(\xi) = \beta_i \xi^{\mu_i} \quad (\mu_i = 1/m_i, \quad \beta_i = b_i^{-\mu_i}, \quad i = 0, 1). \quad (2)$$

Согласно (2) секущий модуль i -го фазового материала определяется следующим образом [13]:

$$G_s^{(i)}(\xi) = \sigma(\xi)/\xi = \beta_i \xi^{\mu_i - 1} \quad (i = 0, 1). \quad (3)$$

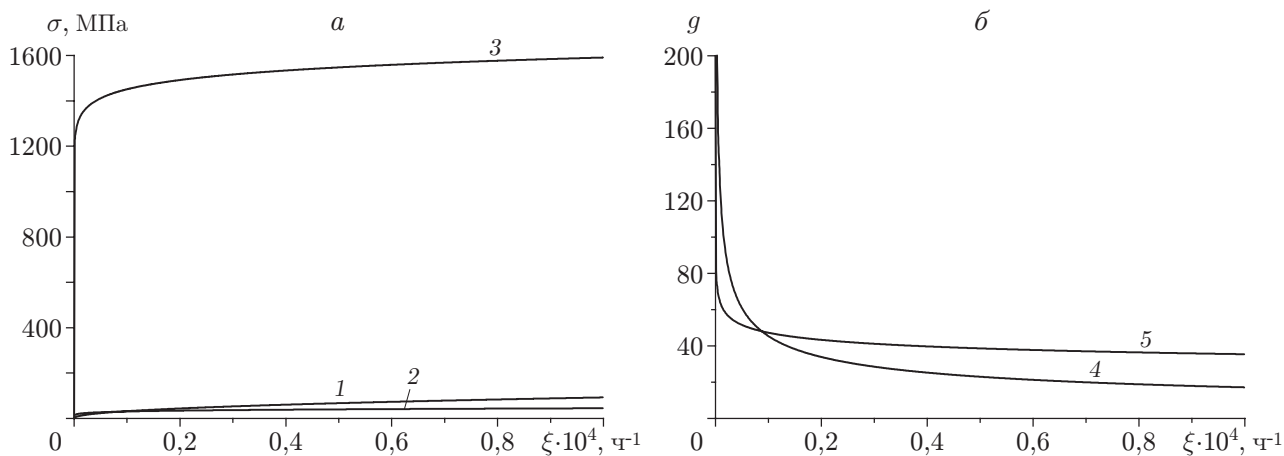


Рис. 1. Зависимости напряжения (а) и отношения секущих модулей (б) некоторых фазовых материалов от скорости установившейся ползучести:
 1 — Cu, 2 — сплав АМгЗ, 3 — сталь У8А, 4 — Cu-У8А, 5 — АМгЗ-У8А

На рис. 1, б приведены зависимости

$$g(\xi) = G_s^{(1)}(\xi)/G_s^{(0)}(\xi), \quad (4)$$

где $G_s^{(0)}$, $G_s^{(1)}$ — секущие модули материалов связующего и арматуры соответственно. Кривая 4 на рис. 1, б характеризует (Cu-У8А)-композицию, линия 5 — (АМгЗ-У8А)-композицию (см. (1)–(4)).

Поведение кривой 5 на рис. 1, б показывает, что на всем рассматриваемом интервале изменения скорости деформаций ползучести $|\xi| \leq 10^{-4}$ ч⁻¹ для (АМгЗ-У8А)-композиции значения функции $g(\xi) > 30$. Поведение кривой 4 свидетельствует о том, что при скорости деформаций ползучести $|\xi| \leq 10^{-5}$ ч⁻¹ отношение секущих модулей (3) этих материалов превышает значение 40, а при $|\xi| \leq 10^{-6}$ ч⁻¹ отношение (4) становится больше 100.

Для ряда технически важных несущих элементов металлоконструкций, работающих в условиях длительного термосилового нагружения, техническими нормами установлены предельно допустимые скорости деформаций ползучести порядка $10^{-7} \div 10^{-5}$ ч⁻¹ [16]. Как следует из рис. 1, б, при изготовлении этих элементов из указанных выше металлокомпозиций возникает необходимость учета их ослабленного сопротивления поперечному сдвигу, так как в диапазоне допустимых скоростей деформаций ползучести отношение секущих модулей для этих фазовых материалов достигает значений, равных нескольким десяткам и даже сотням.

Приведенные примеры показывают, что при расчете тонкостенных элементов армированных металлокомпозитных конструкций, работающих в условиях установившейся ползучести, в некоторых случаях необходимо учитывать их ослабленное сопротивление поперечному сдвигу, несмотря на то что при исследовании упругого кратковременного деформирования таких конструкций поперечный сдвиг можно не учитывать.

Рассмотрим в прямоугольной декартовой системе координат (x_1, x_2, x_3) тонкостенный элемент толщиной $2h$, состоящий из многократно (4–10 раз [17]) и регулярно чередующихся элементарных армированных слоев, параллельных отсчетной плоскости (x_1, x_2) , которую совместим со срединной плоскостью элемента, ось x_3 направим по нормали к этой срединной плоскости (рис. 2). Согласно [17] в этом случае армирование в направлении оси x_3 можно считать квазиоднородным, т. е. можно не выделять отдельно каждый элементарный армированный слой. Армирование каждого элементарного слоя в плоскости (x_1, x_2) может быть и неоднородным. Будем полагать, что этот армированный металло-

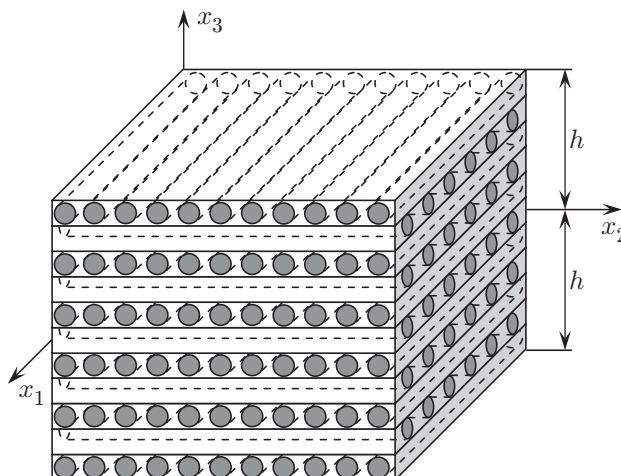


Рис. 2. Схема армирования металлокомпозитной пластины

композиционный элемент работает в условиях установившейся ползучести, которая описывается с помощью модели 3, предложенной в [1], причем на n -й итерации компоненты a_{ij}^n ($i, j = \overline{1, 5}$) матрицы A^n размером 5×5 (см. (52) в [1]) известны.

Расчеты, выполненные для различных структур армирования (при разном количестве семейств арматуры, различных плотностях и направлениях армирования), показали, что указанная матрица A^n имеет блочно-диагональный вид, причем отличными от нуля являются следующие ее компоненты, зависящие от всех пространственных переменных x_1, x_2, x_3 :

$$a_{11}^n, \quad a_{22}^n, \quad a_{33}^n, \quad a_{12}^n = a_{21}^n, \quad a_{13}^n = a_{31}^n, \quad a_{23}^n = a_{32}^n; \quad (5)$$

$$a_{44}^n, \quad a_{55}^n. \quad (6)$$

Это обусловлено тем, что армирование осуществляется в плоскостях, параллельных плоскости (x_1, x_2) , и все фазовые материалы полагаются изотропными. Согласно соотношениям (50) из работы [1] компоненты (5) матрицы A^n характеризуют эффективные вязкости металлокомпозиции (работающей в условиях установившейся ползучести) в плоскости (x_1, x_2) , а компоненты (6) — сдвиговые вязкости в поперечном направлении оси x_3 .

Для удобства первый блок матрицы A^n с компонентами (5) обозначим как матрицу

$$B^n \equiv (a_{ij}^n), \quad i, j = 1, 2, 3 \quad (7)$$

размером 3×3 , компоненты которой по-прежнему считаются известными из решения на предыдущей n -й итерации.

Как и в работе [2], для описания ослабленного сопротивления тонкостенного армированного элемента поперечному сдвигу используем второй вариант теории Тимошенко [3, 5], т. е. сдвиговые скорости деформаций ползучести в поперечном направлении зададим распределенными по квадратичному закону в направлении x_3 (см. соотношения (5) в [2]). В соответствии со вторым вариантом теории Тимошенко обжатием тонкостенного элемента можно пренебречь, так как скорость ползучести точек элемента в поперечном направлении v_3 (скорость прогиба) не зависит от координаты x_3 . С учетом этих допущений и дифференциальных соотношений Коши [13] получаем кинематические соотношения, совпадающие с равенствами (6)–(9) из работы [2].

Зная выражения для компонент тензора скоростей деформаций ползучести ξ_{ij} (см. (5), (8), (9) в [2]), согласно равенству (52) из [1] можно определить компоненты напряжений σ_{ij} в каждой точке тонкостенного элемента (в силу допущений [1] $\sigma_{33} \equiv 0$):

$$\begin{aligned} \sigma = \sum_{i=1}^2 B_i^n \left\{ \frac{\partial v_i^0}{\partial x_i} - x_3 \frac{\partial^2 v_3}{\partial x_i^2} + 2 \left[\frac{x_3}{h^2} \left(h^2 - \frac{x_3^2}{3} \right) \frac{\partial \xi_{i3}^0}{\partial x_i} + \frac{x_3}{2h} \left(\frac{x_3}{2} + h \right) \frac{\partial \xi_{i3}^{(+)}}{\partial x_i} - \frac{x_3}{2h} \left(\frac{x_3}{2} - h \right) \frac{\partial \xi_{i3}^{(-)}}{\partial x_i} \right] \right\} + \\ + 2B_3^n \left[\frac{1}{2} \left(\frac{\partial v_1^0}{\partial x_2} + \frac{\partial v_2^0}{\partial x_1} \right) - x_3 \frac{\partial^2 v_3}{\partial x_1 \partial x_2} + \frac{x_3}{h^2} \left(h^2 - \frac{x_3^2}{3} \right) \left(\frac{\partial \xi_{13}^0}{\partial x_2} + \frac{\partial \xi_{23}^0}{\partial x_1} \right) + \right. \\ \left. + \frac{x_3}{2h} \left(\frac{x_3}{2} + h \right) \left(\frac{\partial \xi_{13}^{(+)}}{\partial x_2} + \frac{\partial \xi_{23}^{(+)}}{\partial x_1} \right) - \frac{x_3}{2h} \left(\frac{x_3}{2} - h \right) \left(\frac{\partial \xi_{13}^{(-)}}{\partial x_2} + \frac{\partial \xi_{23}^{(-)}}{\partial x_1} \right) \right], \quad (8) \end{aligned}$$

$$\sigma_{i3} = 2b_i^n \left(\frac{h^2 - x_3^2}{h^2} \xi_{i3}^0 + \frac{x_3 + h}{2h} \xi_{i3}^{(+)} - \frac{x_3 - h}{2h} \xi_{i3}^{(-)} \right), \quad i = 1, 2, \quad |x_3| \leq h, \quad (x_1, x_2) \in G,$$

где согласно (5)–(7)

$$\sigma^T \equiv \{\sigma_{11}, \sigma_{22}, \sigma_{12}\}, \quad (B_i^n)^T = \{a_{1i}^n, a_{2i}^n, a_{3i}^n\} \quad (i = 1, 2, 3), \quad b_1^n \equiv a_{55}^n, \quad b_2^n \equiv a_{44}^n, \quad (9)$$

$\xi_{i3}^{(+)}, \xi_{i3}^{(-)}$ — скорости деформаций ползучести поперечных сдвигов на верхней ($x_3 = h$) и нижней ($x_3 = -h$) лицевых поверхностях элемента соответственно; при $\xi_{i3}^{(\pm)} \equiv 0$ функции ξ_{i3}^0 определяют скорости деформаций ползучести поперечных сдвигов в срединной

плоскости $x_3 = 0$; v_i^0 — скорость ползучести точек срединной плоскости в направлении x_i ($i = 1, 2$); G — область, занимаемая пластиной в плане; τ — транспонирование; n — номер предыдущей итерации (для удобства верхний индекс $n + 1$, означающий номер текущей $(n + 1)$ -й итерации, пока будем опускать). Согласно (9) \mathbf{B}_i^n — трехкомпонентный вектор-столбец, элементы которого равны компонентам i -го столбца (3×3) -матрицы B^n (см. (7)).

С учетом выражений (8) и того, что функции v_i^0 , v_3 , ξ_{i3}^0 , $\xi_{i3}^{(\pm)}$ ($i = 1, 2$) зависят только от двух переменных x_1, x_2 , можно определить все внутренние силовые факторы в тонкостенном элементе:

$$\begin{aligned} \mathbf{F} &= \int_{-h}^h \boldsymbol{\sigma} dx_3 = \sum_{i=1}^2 \left(\bar{\mathbf{B}}_i^n \frac{\partial v_i^0}{\partial x_i} - \mathbf{A}_i^n \frac{\partial^2 v_3}{\partial x_i^2} + 2\mathbf{C}_i^n \frac{\partial \xi_{i3}^0}{\partial x_i} + 2(\mathbf{C}_i^{(+)})^n \frac{\partial \xi_{i3}^{(+)}}{\partial x_i} - 2(\mathbf{C}_i^{(-)})^n \frac{\partial \xi_{i3}^{(-)}}{\partial x_i} \right) + \\ &+ \bar{\mathbf{B}}_3^n \left(\frac{\partial v_1^0}{\partial x_2} + \frac{\partial v_2^0}{\partial x_1} \right) - 2\mathbf{A}_3^n \frac{\partial^2 v_3}{\partial x_1 \partial x_2} + 2\mathbf{C}_3^n \left(\frac{\partial \xi_{13}^0}{\partial x_2} + \frac{\partial \xi_{23}^0}{\partial x_1} \right) + \\ &+ 2(\mathbf{C}_3^{(+)})^n \left(\frac{\partial \xi_{13}^{(+)}}{\partial x_2} + \frac{\partial \xi_{23}^{(+)}}{\partial x_1} \right) - 2(\mathbf{C}_3^{(-)})^n \left(\frac{\partial \xi_{13}^{(-)}}{\partial x_2} + \frac{\partial \xi_{23}^{(-)}}{\partial x_1} \right), \\ F_{i3} &= \int_{-h}^h \sigma_{i3} dx_3 = 2(d_i^n \xi_{i3}^0 + (d_i^{(+)})^n \xi_{i3}^{(+)} - (d_i^{(-)})^n \xi_{i3}^{(-)}), \quad i = 1, 2, \end{aligned} \quad (10)$$

$$\begin{aligned} \mathbf{M} &= \int_{-h}^h \boldsymbol{\sigma} x_3 dx_3 = \sum_{i=1}^2 \left(\mathbf{A}_i^n \frac{\partial v_i^0}{\partial x_i} - \mathbf{E}_i^n \frac{\partial^2 v_3}{\partial x_i^2} + 2\mathbf{H}_i^n \frac{\partial \xi_{i3}^0}{\partial x_i} + 2(\mathbf{H}_i^{(+)})^n \frac{\partial \xi_{i3}^{(+)}}{\partial x_i} - 2(\mathbf{H}_i^{(-)})^n \frac{\partial \xi_{i3}^{(-)}}{\partial x_i} \right) + \\ &+ \mathbf{A}_3^n \left(\frac{\partial v_1^0}{\partial x_2} + \frac{\partial v_2^0}{\partial x_1} \right) - 2\mathbf{E}_3^n \frac{\partial^2 v_3}{\partial x_1 \partial x_2} + 2\mathbf{H}_3^n \left(\frac{\partial \xi_{13}^0}{\partial x_2} + \frac{\partial \xi_{23}^0}{\partial x_1} \right) + \\ &+ 2(\mathbf{H}_3^{(+)})^n \left(\frac{\partial \xi_{13}^{(+)}}{\partial x_2} + \frac{\partial \xi_{23}^{(+)}}{\partial x_1} \right) - 2(\mathbf{H}_3^{(-)})^n \left(\frac{\partial \xi_{13}^{(-)}}{\partial x_2} + \frac{\partial \xi_{23}^{(-)}}{\partial x_1} \right), \quad (x_1, x_2) \in G, \end{aligned}$$

где согласно (9) $\mathbf{F}^T \equiv \{F_{11}, F_{22}, F_{12}\}$; $\mathbf{M}^T \equiv \{M_{11}, M_{22}, M_{12}\}$; \mathbf{A}_i^n , $\bar{\mathbf{B}}_i^n$, \mathbf{C}_i^n , $(\mathbf{C}_i^{(\pm)})^n$, \mathbf{E}_i^n , \mathbf{H}_i^n , $(\mathbf{H}_i^{(\pm)})^n$ — трехкомпонентные векторы-столбцы, элементы которых совпадают с компонентами i -х столбцов (3×3) -матриц $\bar{\mathbf{A}}^n = (\bar{a}_{ji}^n)$, $\bar{\mathbf{B}}^n = (\bar{b}_{ji}^n)$, $\bar{\mathbf{C}}^n = (\bar{c}_{ji}^n)$, $(\bar{\mathbf{C}}^{(\pm)})^n = ((\bar{c}_{ji}^{(\pm)})^n)$, $\bar{\mathbf{E}}^n = (\bar{e}_{ji}^n)$, $\bar{\mathbf{H}}^n = (\bar{h}_{ji}^n)$, $(\bar{\mathbf{H}}^{(\pm)})^n = ((\bar{h}_{ji}^{(\pm)})^n)$ ($i, j = \bar{1}, \bar{3}$), согласно соотношениям (8)–(10) определяемых следующим образом:

$$\begin{aligned} \bar{\mathbf{A}}^n &\equiv \int_{-h}^h B^n x_3 dx_3, \quad \bar{\mathbf{B}}^n \equiv \int_{-h}^h B^n dx_3, \quad \bar{\mathbf{C}}^n \equiv \int_{-h}^h B^n \frac{x_3}{h^2} \left(h^2 - \frac{x_3^2}{3} \right) dx_3, \\ (\bar{\mathbf{C}}^{(\pm)})^n &\equiv \int_{-h}^h B^n \frac{x_3}{2h} \left(\frac{x_3}{2} \pm h \right) dx_3, \quad \bar{\mathbf{E}}^n \equiv \int_{-h}^h B^n x_3^2 dx_3, \quad \bar{\mathbf{H}}^n \equiv \int_{-h}^h B^n \frac{x_3^2}{h^2} \left(h^2 - \frac{x_3^2}{3} \right) dx_3, \\ (\bar{\mathbf{H}}^{(\pm)})^n &\equiv \int_{-h}^h B^n \frac{x_3^2}{2h} \left(\frac{x_3}{2} \pm h \right) dx_3, \quad d_i^n \equiv \int_{-h}^h b_i^n \frac{h^2 - x_3^2}{h^2} dx_3, \quad (d_i^{(\pm)})^n \equiv \int_{-h}^h b_i^n \frac{x_3 \pm h}{2h} dx_3, \end{aligned} \quad (11)$$

$i = 1, 2.$

Внутренние силовые факторы F , M , F_{i3} должны удовлетворять известным уравнениям равновесия (см. (15) в [2]), к которым необходимо добавить четыре статических граничных условия на лицевых поверхностях пластины (см. последнее равенство (8) с учетом (9) и соотношения (5) из [2]):

$$\sigma_{i3}^{(\pm)}(x_1, x_2) = 2b_i^n(x_1, x_2, \pm h)\xi_{i3}^{(\pm)}(x_1, x_2), \quad i = 1, 2, \quad (12)$$

где $\sigma_{i3}^{(\pm)} = \sigma_{i3}(x_1, x_2, \pm h)$ — заданные напряжения на верхней (знак “+”) и нижней (знак “-”) лицевых поверхностях пластины.

Поскольку напряжения $\sigma_{i3}^{(\pm)}$ на лицевых поверхностях заданы, эффективные вязкости $b_i^n(x_1, x_2, x_3)$ полагаются известными из решения на предыдущей итерации, из соотношения (12) следует (далее вновь будем использовать верхний индекс $n+1$, означающий номер текущей итерации)

$$(\xi_{i3}^{(\pm)})^{n+1}(x_1, x_2) = 0,5\sigma_{i3}^{(\pm)}(x_1, x_2)/b_i^n(x_1, x_2, \pm h), \quad i = 1, 2, \quad (13)$$

т. е. на текущей $(n+1)$ -й итерации функции $(\xi_{i3}^{(\pm)})^{n+1}(x_1, x_2)$ можно считать известными во всех предыдущих соотношениях.

На кромках пластины зададим известные статические и кинематические граничные условия (см. (17)–(21) в [2]).

Для получения системы разрешающих уравнений установившейся ползучести рассматриваемого металлокомпозитного тонкостенного элемента соотношения (10) подставим в уравнения равновесия (15) из работы [2]. После приведения подобных слагаемых получаем

$$\begin{aligned} \sum_{j=1}^2 \frac{\partial}{\partial x_j} F_k(v_1^0, v_2^0, v_3, \xi_{13}^0, \xi_{23}^0)^{n+1} &= -X_i(x_1, x_2) - \sigma_{i3}^{(+)} + \sigma_{i3}^{(-)} - \\ &\quad - \sum_{j=1}^2 \frac{\partial}{\partial x_j} P_k(\xi_{13}^{(-)}, \xi_{23}^{(-)}, \xi_{13}^{(+)}, \xi_{23}^{(+)})^{n+1}, \\ \sum_{j=1}^2 \frac{\partial}{\partial x_j} M_k(v_1^0, v_2^0, v_3, \xi_{13}^0, \xi_{23}^0)^{n+1} - 2d_i^n(\xi_{i3}^0)^{n+1} &= -m_i(x_1, x_2) - h(\sigma_{i3}^{(+)} + \sigma_{i3}^{(-)}) + \\ &\quad + 2((d_i^{(+)})^n(\xi_{i3}^{(+)})^{n+1} - (d_i^{(-)})^n(\xi_{i3}^{(-)})^{n+1}) - \\ &\quad - \sum_{j=1}^2 \frac{\partial}{\partial x_j} L_k(\xi_{13}^{(-)}, \xi_{23}^{(-)}, \xi_{13}^{(+)}, \xi_{23}^{(+)})^{n+1} \quad (i = 1, 2), \end{aligned} \quad (14)$$

$$\begin{aligned} \sum_{j=1}^2 \frac{\partial}{\partial x_j} (d_j^n(\xi_{j3}^0)^{n+1}) &= -\frac{1}{2} X_3(x_1, x_2) - \frac{1}{2} (\sigma_{33}^{(+)} - \sigma_{33}^{(-)}) - \\ &\quad - \sum_{j=1}^2 \frac{\partial}{\partial x_j} ((d_j^{(+)})^n(\xi_{j3}^{(+)})^{n+1} - (d_j^{(-)})^n(\xi_{j3}^{(-)})^{n+1}), \quad (x_1, x_2) \in G, \end{aligned}$$

где операторы F_k , P_k , M_k , L_k имеют следующую структуру:

$$\begin{aligned} F_k(v_1^0, v_2^0, v_3, \xi_{13}^0, \xi_{23}^0) &\equiv \sum_{l=1}^2 \left(\bar{b}_{kl}^n \frac{\partial v_l^0}{\partial x_l} - \bar{a}_{kl}^n \frac{\partial^2 v_3}{\partial x_l^2} + 2\bar{c}_{kl}^n \frac{\partial \xi_{l3}^0}{\partial x_l} \right) + \\ &\quad + \bar{b}_{k3}^n \left(\frac{\partial v_1^0}{\partial x_2} + \frac{\partial v_2^0}{\partial x_1} \right) - 2\bar{a}_{k3}^n \frac{\partial^2 v_3}{\partial x_1 \partial x_2} + 2\bar{c}_{k3}^n \left(\frac{\partial \xi_{13}^0}{\partial x_2} + \frac{\partial \xi_{23}^0}{\partial x_1} \right), \end{aligned}$$

$$\begin{aligned}
P_k(\xi_{13}^{(-)}, \xi_{23}^{(-)}, \xi_{13}^{(+)}, \xi_{23}^{(+)}) &\equiv 2 \left[\sum_{l=1}^2 \left((\bar{c}_{kl}^{(+)})^n \frac{\partial \xi_{l3}^{(+)}}{\partial x_l} - (\bar{c}_{kl}^{(-)})^n \frac{\partial \xi_{l3}^{(-)}}{\partial x_l} \right) + \right. \\
&\quad \left. + (\bar{c}_{k3}^{(+)})^n \left(\frac{\partial \xi_{13}^{(+)}}{\partial x_2} + \frac{\partial \xi_{23}^{(+)}}{\partial x_1} \right) - (\bar{c}_{k3}^{(-)})^n \left(\frac{\partial \xi_{13}^{(-)}}{\partial x_2} + \frac{\partial \xi_{23}^{(-)}}{\partial x_1} \right) \right], \\
M_k(v_1^0, v_2^0, v_3, \xi_{13}^0, \xi_{23}^0) &\equiv \sum_{l=1}^2 \left(\bar{a}_{kl}^n \frac{\partial v_l^0}{\partial x_l} - \bar{e}_{kl}^n \frac{\partial^2 v_3}{\partial x_l^2} + 2\bar{h}_{kl}^n \frac{\partial \xi_{l3}^0}{\partial x_l} \right) + \\
&\quad + \bar{a}_{k3}^n \left(\frac{\partial v_1^0}{\partial x_2} + \frac{\partial v_2^0}{\partial x_1} \right) - 2\bar{e}_{k3}^n \frac{\partial^2 v_3}{\partial x_1 \partial x_2} + 2\bar{h}_{k3}^n \left(\frac{\partial \xi_{13}^0}{\partial x_2} + \frac{\partial \xi_{23}^0}{\partial x_1} \right), \\
L_k(\xi_{13}^{(-)}, \xi_{23}^{(-)}, \xi_{13}^{(+)}, \xi_{23}^{(+)}) &\equiv 2 \left[\sum_{l=1}^2 \left((\bar{h}_{kl}^{(+)})^n \frac{\partial \xi_{l3}^{(+)}}{\partial x_l} - (\bar{h}_{kl}^{(-)})^n \frac{\partial \xi_{l3}^{(-)}}{\partial x_l} \right) + \right. \\
&\quad \left. + (\bar{h}_{k3}^{(+)})^n \left(\frac{\partial \xi_{13}^{(+)}}{\partial x_2} + \frac{\partial \xi_{23}^{(+)}}{\partial x_1} \right) - (\bar{h}_{k3}^{(-)})^n \left(\frac{\partial \xi_{13}^{(-)}}{\partial x_2} + \frac{\partial \xi_{23}^{(-)}}{\partial x_1} \right) \right]; \\
k &= \begin{cases} j, & j = i, \\ 3, & j \neq i, \end{cases} \quad (16)
\end{aligned}$$

X_i — приведенные распределенные внешние нагрузки, действующие в направлении x_i ($i = \overline{1, 3}$) и порожденные объемными силами; m_i ($i = 1, 2$) — приведенные распределенные внешние моменты от объемных сил; $\sigma_{33}^{(\pm)}$ — заданные нормальные напряжения на лицевых поверхностях $x_3 = \pm h$; $\bar{a}_{kl}^n, \bar{b}_{kl}^n, \bar{c}_{kl}^n, \dots$ — компоненты матриц (11).

Подставляя соотношения (10) в равенства (17) из [2], получаем статические граничные условия в следующей форме:

$$\begin{aligned}
\sum_{i=1}^2 \sum_{j=1}^2 n_i n_j F_k(v_1^0, v_2^0, v_3, \xi_{13}^0, \xi_{23}^0)^{n+1} &= F_{nn} - \sum_{i=1}^2 \sum_{j=1}^2 n_i n_j P_k(\xi_{13}^{(-)}, \xi_{23}^{(-)}, \xi_{13}^{(+)}, \xi_{23}^{(+)})^{n+1}, \\
\sum_{i=1}^2 \sum_{j=1}^2 (-1)^i n_{3-i} n_j F_k(v_1^0, v_2^0, v_3, \xi_{13}^0, \xi_{23}^0)^{n+1} &= \\
&= F_{n\tau} - \sum_{i=1}^2 \sum_{j=1}^2 (-1)^i n_{3-i} n_j P_k(\xi_{13}^{(-)}, \xi_{23}^{(-)}, \xi_{13}^{(+)}, \xi_{23}^{(+)})^{n+1}, \\
\sum_{i=1}^2 n_i d_i^n (\xi_{i3}^0)^{n+1} &= \frac{1}{2} F_{n3} - \sum_{i=1}^2 n_i \left((d_i^{(+)})^n (\xi_{i3}^{(+)})^{n+1} - (d_i^{(-)})^n (\xi_{i3}^{(-)})^{n+1} \right), \quad (17) \\
\sum_{i=1}^2 \sum_{j=1}^2 n_i n_j M_k(v_1^0, v_2^0, v_3, \xi_{13}^0, \xi_{23}^0)^{n+1} &= M_{nn} - \sum_{i=1}^2 \sum_{j=1}^2 n_i n_j L_k(\xi_{13}^{(-)}, \xi_{23}^{(-)}, \xi_{13}^{(+)}, \xi_{23}^{(+)})^{n+1}, \\
\sum_{i=1}^2 \sum_{j=1}^2 (-1)^i n_{3-i} n_j M_k(v_1^0, v_2^0, v_3, \xi_{13}^0, \xi_{23}^0)^{n+1} &= \\
&= M_{n\tau} - \sum_{i=1}^2 \sum_{j=1}^2 (-1)^i n_{3-i} n_j L_k(\xi_{13}^{(-)}, \xi_{23}^{(-)}, \xi_{13}^{(+)}, \xi_{23}^{(+)})^{n+1}, \quad (x_1, x_2) \in \Gamma,
\end{aligned}$$

где $n_1 = \cos \alpha$, $n_2 = \sin \alpha$; Γ — контур, ограничивающий область G , занимаемую пластиной в плане; α — угол, задающий направление внешней нормали к контуру Γ ; F_{nn} , $F_{n\tau}$ — заданные на контуре Γ нормальная и касательная мембранные силы; F_{n3} — заданная на контуре Γ поперечная сила; M_{nn} , $M_{n\tau}$ — заданные на контуре Γ изгибающий и крутящий моменты; индекс k определяется по формуле (16). Согласно (13), (15) в правые части равенств (14), (17) перенесены все известные на $(n + 1)$ -й итерации слагаемые.

Поскольку система уравнений (14) при подстановке в нее выражений (15) является системой дифференциальных уравнений в частных производных десятого порядка [3, 5, 8, 9], для ее однозначного интегрирования в каждой точке контура Γ должны быть заданы пять статических (17) или пять кинематических (см. (18), (20) в [2]) граничных условий. Возможно также задание пяти смешанных (из указанных) граничных условий.

2. Задача изгиба кольцевой пластины. В качестве примера рассмотрим задачу изгиба кольцевой пластины, имеющей постоянную толщину $2h$ и радиусы r_0, r_1 ($r_0 < r_1$). Положения точек пластины задаются в цилиндрической системе координат (x_1, x_2, x_3) , где x_1 — полярный радиус; x_2 — полярный угол; x_3 — осевая координата. Нагружение и закрепление пластины не зависят от окружного направления x_2 , внешние силы в этом направлении также отсутствуют.

Как и ранее, металлокомпозитная пластина состоит из многократно и регулярно чередующихся элементарных слоев двух типов (см. рис. 2). Каждый слой усилен осесимметрично расположенным семейством проволок (доля арматуры во всех слоях одинакова: $\omega_1(x_1) = \omega_2(x_1)$ [1]) по радиально-симметричным направлениям: $\psi_1(x_1) = -\psi_2(x_1)$ ($r_0 \leq x_1 \leq r_1$), где ψ_k — угол армирования проволокой элементарного слоя k -го типа ($k = 1, 2$), отсчитываемый от полярного радиуса x_1 . На рис. 3 представлена схема рассматриваемой кольцевой металлокомпозитной пластины, причем траектории армирования с противоположными углами кривизны соответствуют элементарным слоям различного типа. (На рис. 3 показано только по 10 траекторий армирования элементарных слоев каждого типа.) Согласно [1] при такой структуре армирования в соотношениях (5) тождественно равны нулю следующие компоненты матрицы A^n (а также матрицы (7)):

$$a_{13}^n = a_{31}^n = a_{23}^n = a_{32}^n = 0. \quad (18)$$

В силу (5), (6) с учетом (18) и особенностей нагружения и закрепления рассматриваемой пластины решение задачи о ее деформировании в условиях установившейся ползучести не зависит от окружной координаты x_2 , т. е. реализуется случай осесимметричного изгиба, при этом

$$v_2(x_1, x_3) \equiv 0, \quad \xi_{12}(x_1, x_3) \equiv \xi_{23}(x_1, x_3) \equiv 0, \quad \sigma_{12}(x_1, x_3) \equiv \sigma_{23}(x_1, x_3) \equiv 0.$$

Будем полагать, что на лицевых поверхностях $x_3 = \pm h$ касательные напряжения отсутствуют ($\sigma_{i3}^{(\pm)} \equiv 0$), тогда из соотношений (13) следует, что $\xi_{i3}^{(\pm)} \equiv 0$ ($i = 1, 2$). В этом случае на текущей $(n + 1)$ -й итерации двухточечная граничная задача описывается с помощью разрешающей системы уравнений (42) из [2] и соответствующих ей граничных условий (44), (45). При этом в равенстве (39) из работы [2] необходимо принять

$$\bar{d}_{44}^n(x_1) \equiv \bar{d}_1^n(x_1),$$

где функция $\bar{d}_1^n(x_1)$ определена в (11) с учетом (9), (6) и известна из решения на предыдущей n -й итерации.

Так как система (42) из [2] содержит производные лишь первого порядка от неизвестных функций, то двухточечную граничную задачу для данной системы можно проинтегрировать численно методом пристрелки [18, 19] с использованием абсолютно устойчивых неявных схем Рунге — Кутты [20].

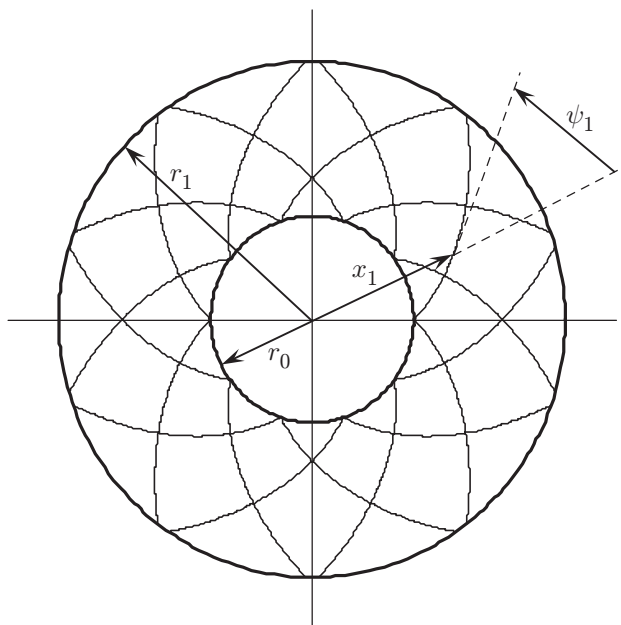


Рис. 3. Спиральная структура армирования кольцевой пластины

Заключение. На основе поставленных краевых задач можно исследовать особенности изгибного деформирования армированных металлокомпозитных пластин, работающих в условиях установившейся ползучести, с учетом их ослабленного сопротивления поперечным сдвигам, при этом на лицевых поверхностях пластин строго выполняются граничные условия по касательным напряжениям.

ЛИТЕРАТУРА

1. Янковский А. П. Моделирование механического поведения перекрестно армированных металлокомпозитов в условиях установившейся ползучести // Механика композиц. материалов и конструкций. 2011. Т. 17, № 3. С. 362–384.
2. Янковский А. П. Исследование установившейся анизотропной ползучести слоистых металлокомпозитных пластин с учетом ослабленного сопротивления поперечному сдвигу. 2. Модель деформирования // Механика композит. материалов. 2012. Т. 48, № 2. С. 279–302.
3. Малмейстер А. К. Сопротивление полимерных и композитных материалов / А. К. Малмейстер, В. П. Тамуж, Г. А. Тетерс. Рига: Зинатне, 1980.
4. Немировский Ю. В. Прочность элементов конструкций из композитных материалов / Ю. В. Немировский, Б. С. Резников. Новосибирск: Наука. Сиб. отд-ние, 1986.
5. Амбарцумян С. А. Теория анизотропных пластин. Прочность, устойчивость и колебания. М.: Наука, 1987.
6. Васильев В. В. Механика конструкций из композитных материалов. М.: Машиностроение, 1988.
7. Немировский Ю. В., Янковский А. П. О границах применимости некоторых теорий расчета изгибаемых армированных пластин // Науч. вестн. Новосиб. гос. техн. ун-та. 2004. № 3. С. 91–113.
8. Пикуль В. В. Механика оболочек. Владивосток: Дальнаука, 2009.
9. Карпов В. В. Прочность и устойчивость подкрепленных оболочек вращения: В 2 ч. Ч. 1. Модели и алгоритмы исследования прочности и устойчивости подкрепленных оболочек вращения. М.: Физматлит, 2010.

10. **Композиционные материалы:** Справ. / Под ред. Д. М. Карпиноса. Киев: Наук. думка, 1985.
11. **Немировский Ю. В., Янковский А. П.** Расчет продольно-поперечного изгиба сложно армированных металлокомпозитных пластин в условиях установившейся ползучести // Конструкции из композиц. материалов. 2009. № 3. С. 5–22.
12. **Янковский А. П.** Установившаяся ползучесть сложно армированных пологих металлокомпозитных оболочек // Механика композит. материалов. 2010. Т. 46, № 1. С. 121–138.
13. **Качанов Л. М.** Теория ползучести. М.: Физматгиз, 1960.
14. **Писаренко Г. С.** Уравнения и краевые задачи теории пластичности и ползучести: Справ. пособие / Г. С. Писаренко, Н. С. Можаровский. Киев: Наук. думка, 1981.
15. **Никитенко А. Ф.** Ползучесть и длительная прочность металлических материалов. Новосибирск: Новосиб. гос. архит.-строит. ун-т, 1997.
16. **Безухов Н. И.** Расчеты на прочность, устойчивость и колебания в условиях высоких температур / Н. И. Безухов, В. Л. Бажанов, И. И. Гольденблат, Н. А. Николаенко, А. М. Синюков. М.: Машиностроение, 1965.
17. **Баничук Н. В.** Оптимизация элементов конструкций из композиционных материалов / Н. В. Баничук, В. В. Кобелев, Р. Б. Рикардс. М.: Машиностроение, 1988.
18. **Григоренко Я. М.** Изотропные и анизотропные оболочки вращения переменной жесткости. Киев: Наук. думка, 1973.
19. **Холл Дж.** Современные численные методы решения обыкновенных дифференциальных уравнений / Дж. Холл, Дж. Уатт. М.: Мир, 1979.
20. **Деккер К.** Устойчивость методов Рунге — Кутты для жестких нелинейных дифференциальных уравнений / К. Деккер, Я. Вервер. М.: Мир, 1988.

*Поступила в редакцию 28/VI 2012 г.,
в окончательном варианте — 20/XI 2013 г.*
